

図 2-1-7 微地形区分

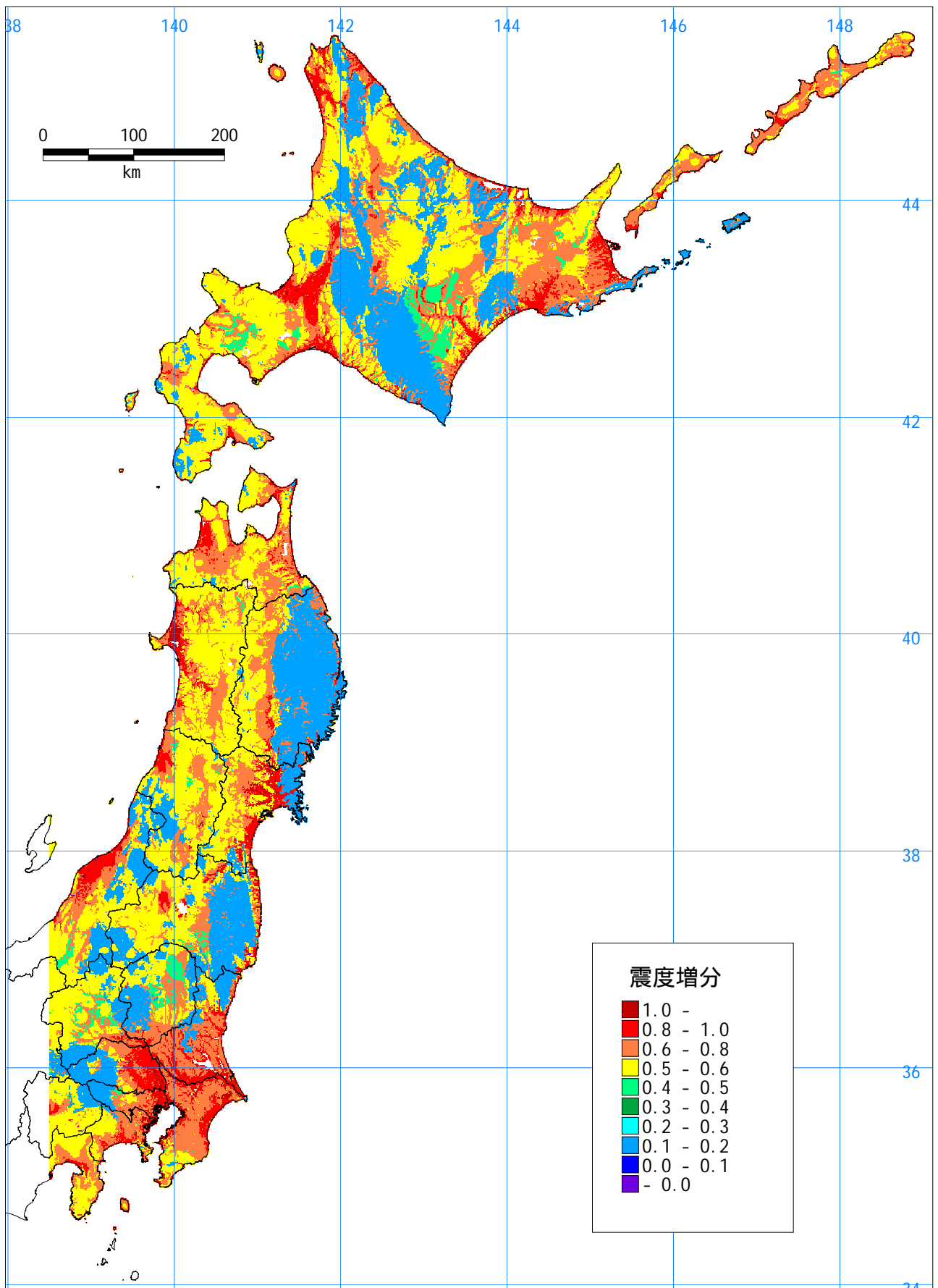
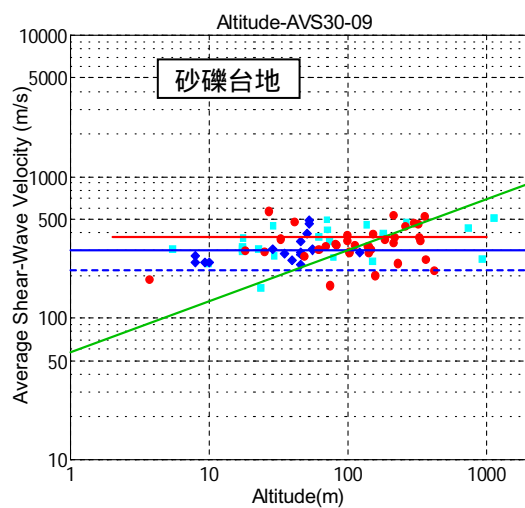
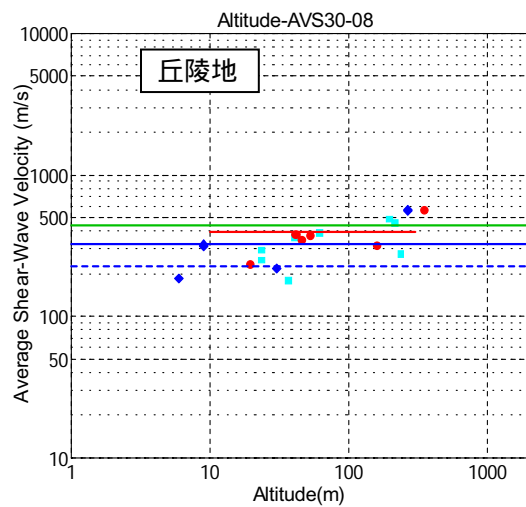
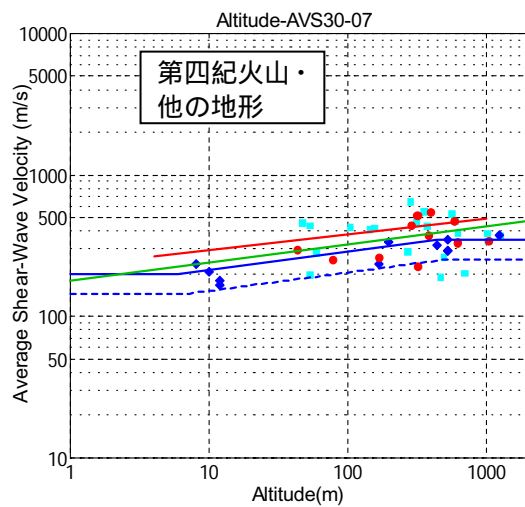
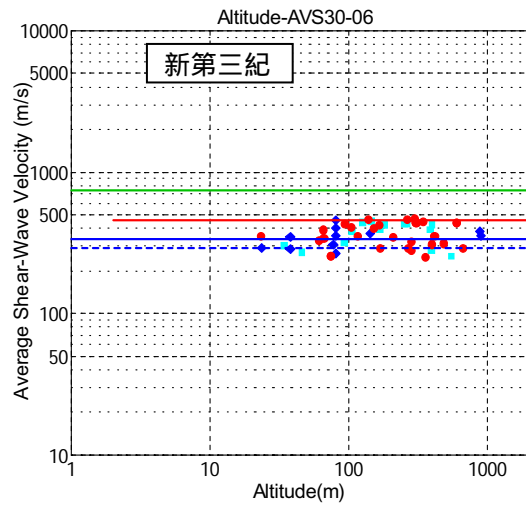
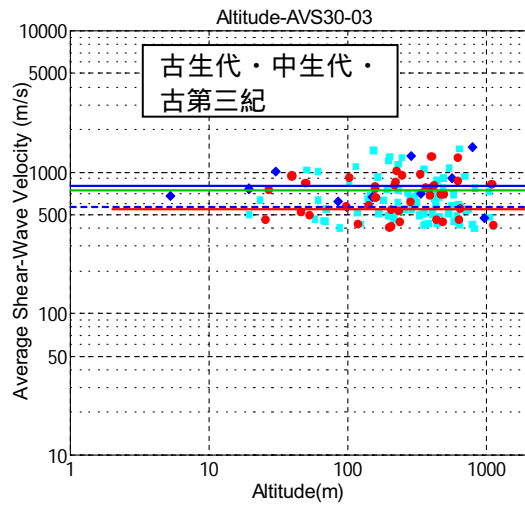
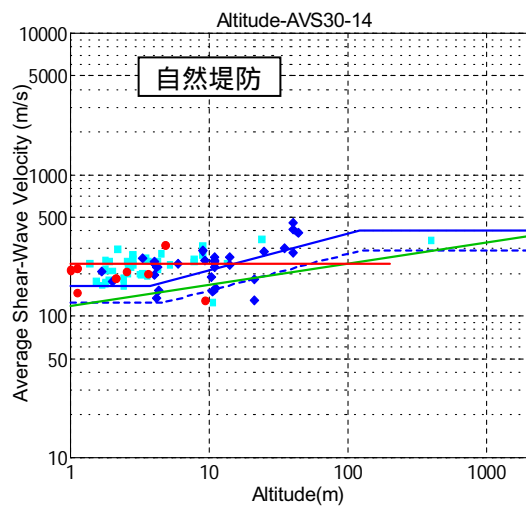
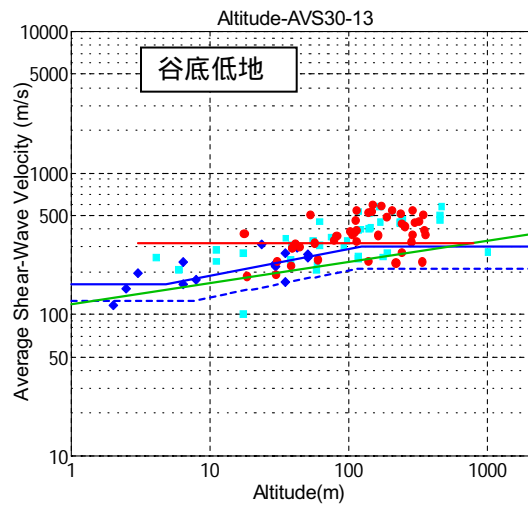
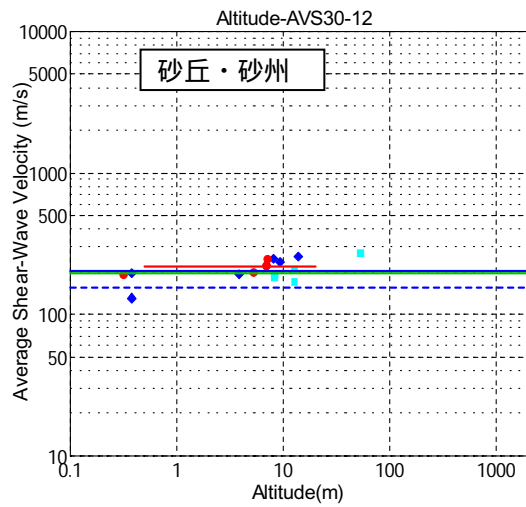
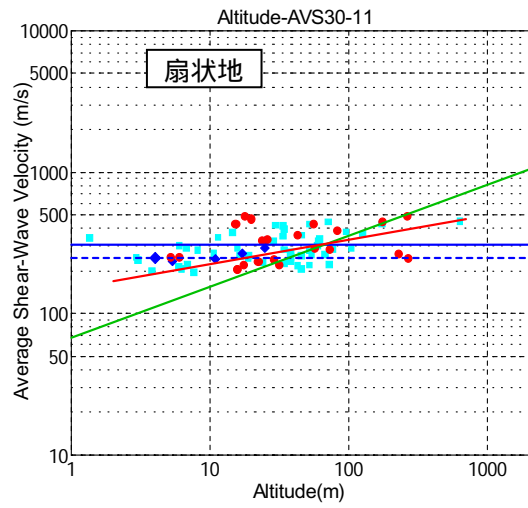
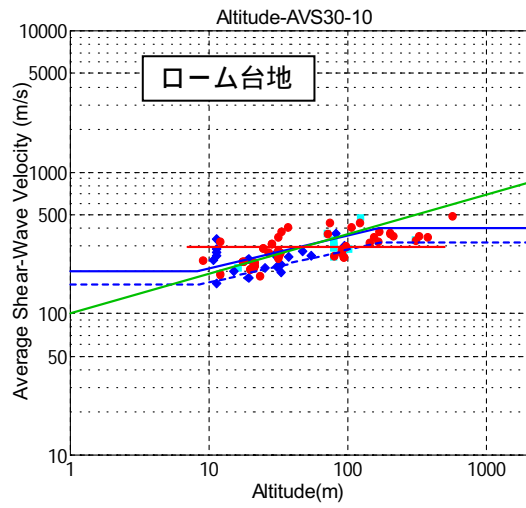


図 2-1-8 AVS30 から求めた震度増分



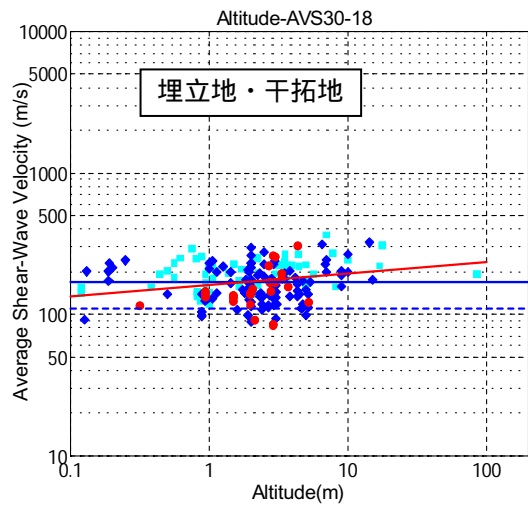
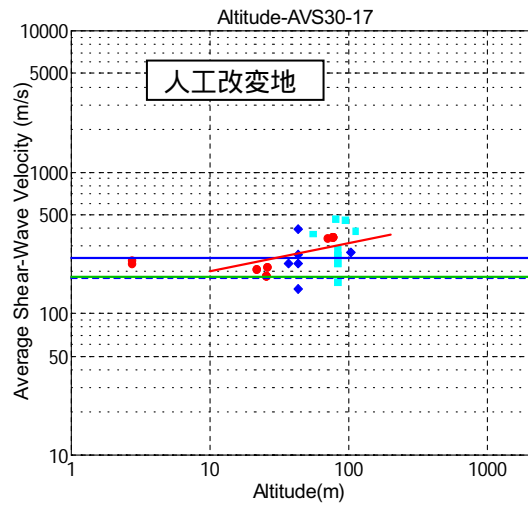
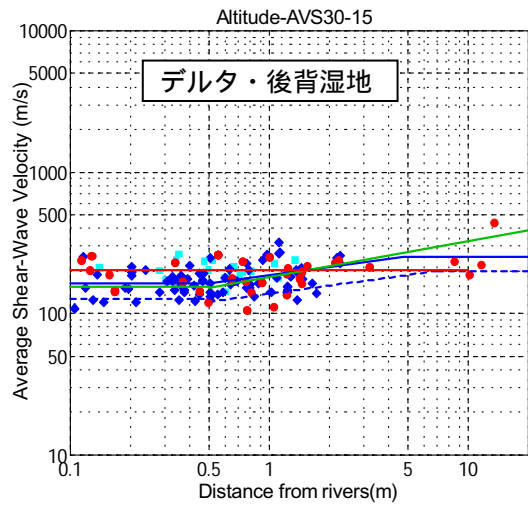
- 新規収集データ
- 東南海・南海地震収集データ
- ◆ 東海地震収集データ
- [μ式] (東海地震専門調査会採用)
- - - [σ式] (東海地震専門調査会採用)
- 松岡・翠川 (1994)
- 藤本・翠川 (2003) 東北日本

図 2-1-9 (1) 標高と AVS30 との関係 ( 1 ) [ PS 検層データによる ]



- 新規収集データ
- 東南海・南海地震収集データ
- ◆ 東海地震収集データ
- [μ式] (東海地震専門調査会採用)
- - [式] (東海地震専門調査会採用)
- 松岡・翠川 (1994)
- 藤本・翠川 (2003) 東北日本

図 2-1-9 (2) 標高と AVS30 との関係 ( 2 ) [ PS 検層データによる ]



- 新規収集データ
- 東南海・南海地震収集データ
- ◆ 東海地震収集データ
- [μ式] (東海地震専門調査会採用)
- - - [ε式] (東海地震専門調査会採用)
- 松岡・翠川 (1994)
- 藤本・翠川 (2003) 東北日本

図 2-1-9 (3) 標高と AVS30 との関係 ( 3 ) [ PS 検層データによる ]